

流感

监测周报

14/2015年

2015年第14周 总第329期

(2015年3月30日-2015年4月5日)



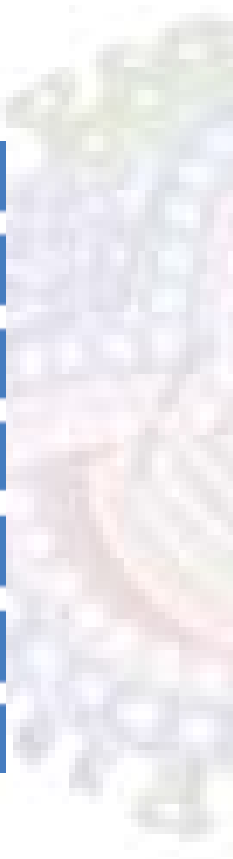
中国疾病预防控制中心
病毒病预防控制所



目 录

CONTENTS

01	摘要
03	一、暴发疫情
04	二、流感样病例报告
06	三、病原学监测
11	四、人感染动物源性流感病毒疫情
12	五、动物禽流感疫情
13	六、其他国家/地区流感监测情况



中国流感流行情况概要(截至 2015 年 4 月 5 日)

·2015 年第 14 周,我国南、北方省份的流感活动呈现中低水平流行态势,流感活动高峰已经过去。B 型流感为主要的流行病毒。

·2014 年 10 月以来,甲型 H1N1 流感病毒 37 株(97.4%)为 A/California/7/2009 的类似株, A(H3N2)亚型流感病毒 568 株(86.6%)为 A/Texas/50/2012 (H3N2)(鸡胚株)的低反应株, B(Yamagata)系 458 株(98.7%)为 B/Massachusetts/2/2012 类似株, B(Victoria)系 2 株(8.0%)为 B/Brisbane/60/2008 的类似株。

·2014 年 10 月以来,耐药性监测显示,所有甲型 H1N1 和 A(H3N2)亚型流感毒株均对烷胺类药物耐药;所有甲型 H1N1 均对神经氨酸酶抑制剂敏感;4 株 A(H3N2)亚型、2 株 B 型流感毒株对神经氨酸酶抑制剂敏感性降低,其余 A(H3N2)亚型、B 型流感毒株均对神经氨酸酶抑制剂敏感。

摘 要

一、暴发疫情

2015 年第 14 周(2015 年 3 月 30—4 月 5 日),全国(未含港澳台地区,下同)报告流感样病例暴发疫情(病例数 10 例及以上) 10 起,其中 B 型流感暴发疫情 4 起, A(H3)暴发疫情 2 起,流感病毒阴性暴发疫情 1 起,未确定疫情性质的疫情 3 起。共报告病例 266 例,无死亡病例。



二、流感样病例报告

2015年第14周,南方省份哨点医院报告的流感样病例占门诊病例总数百分比(ILI%)为2.8%,与前一周水平持平(2.8%),高于2011年同期水平(2.7%),低于2012-2014年同期水平(3.3%、3.0%和3.3%)。

2015年第14周,北方省份哨点医院报告的ILI%为2.7%,高于前一周以及2011年同期水平(2.6%、2.4%) 低于2012-2014年同期水平(2.9%、2.9%和2.8%)。

三、病原学监测

2015年第14周,全国流感监测网络实验室共检测流感样病例监测标本4872份,流感病毒阳性标本603份(12.4%),其中,A型流感99份(16.4%),B型流感504份(83.6%)。第14周,南方省份流感检测阳性率为11.7%,低于前一周(13.5%);北方省份流感检测阳性率为13.6%,低于前一周(14.6%)。南、北方省份检测到的流感各型别及亚型的数量和所占比例具体见表1。

表1 流感样病例监测实验室检测结果

	第14周		
	南方省份	北方省份	合计
检测数	3175	1697	4872
阳性数(%)	372(11.7%)	231(13.6%)	603(12.4%)
A型	90(24.2%)	9(3.9%)	99(16.4%)
季节性A(H3N2)	79(87.8%)	8(88.9%)	87(87.9%)
甲型(H1N1)	4(4.4%)	1(11.1%)	5(5.1%)
A(unsubtyped)	7(7.8%)	0(0%)	7(7.1%)
B型	282(75.8%)	222(96.1%)	504(83.6%)
B未分系	69(24.5%)	57(25.7%)	126(25%)
Victoria	14(5%)	1(0.5%)	15(3%)
Yamagata	199(70.6%)	164(73.9%)	363(72%)

2015年第14周,国家流感中心对1株甲型H1N1流感病毒进行抗原性分析,1株为A/California/7/2009的类似株;对109株A(H3N2)亚型流感毒株进行抗原性分析,109株均为A/Texas/50/2012(H3N2)(鸡胚株)的低反应株;对8株B(Yamagata)系流感病毒进行抗原性分析,8株均为B/Massachusetts/2/2012的类似株。

2015年第14周,国家流感中心对118株A(H3N2)、2株B型流感毒株耐药性监测显示,所有A(H3N2)、B型流感毒株均对神经氨酸酶抑制剂敏感。

暴发疫情

（一）本周新增报告的暴发疫情概况。

2015年第14周（2015年3月30—4月5日），全国（未含港澳台地区，下同）报告流感样病例暴发疫情（病例数10例及以上）10起，其中B型流感暴发疫情4起，A(H3)暴发疫情2起，流感病毒阴性暴发疫情1起，未确定疫情性质的疫情3起。共报告病例266例，无死亡病例。

（二）年度暴发疫情概况。

1. 时间分布。

2015年第14周，南方省份共报告8起ILI暴发疫情，与2014年同期报告疫情数持平（8起）。（图1）

2015年第14周，北方省份共报告2起ILI暴发疫情，高于2014年同期报告疫情（0起）。（图2）

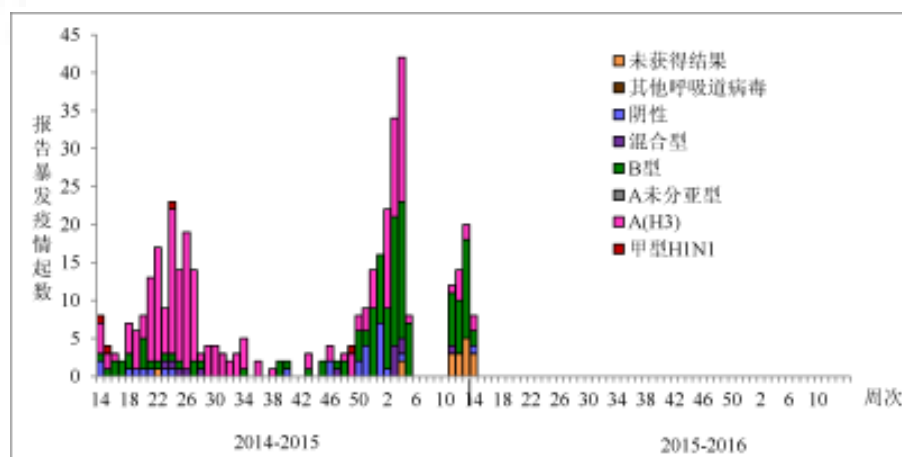


图1 2013—2015年度南方省份报告ILI暴发疫情时间分布
（按疫情报告时间统计）

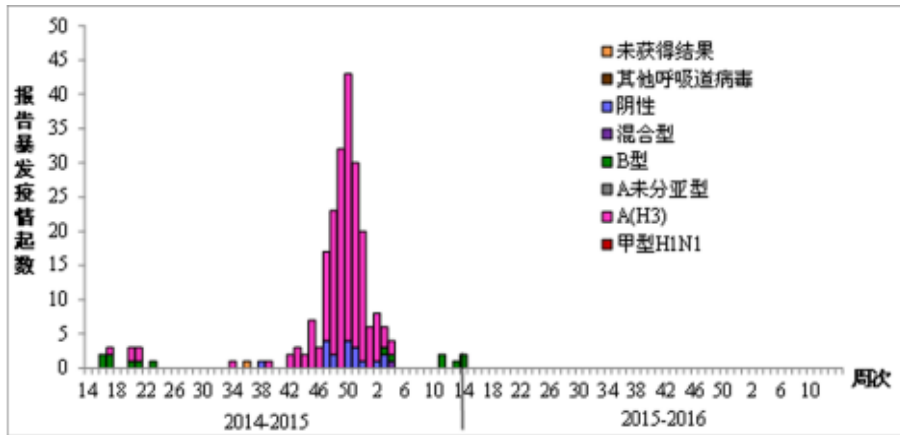


图2 2013—2015年度北方省份报告ILI暴发疫情时间分布
(按疫情报告时间统计)

2. 地区分布。

2015年第14周，全国累计报告的10起ILI暴发疫情，分布于广东、广西、湖南（各2起），甘肃、湖北、山东、四川（各1起）

流感样病例报告

（一）南方省份流感样病例占门急诊病例总数百分比。

2015年第14周，南方省份哨点医院报告的流感样病例占门急诊病例总数百分比（ILI%）为2.8%，与前一周持平（2.8%），高于2011年同期水平持平（2.7%），低于2012—2014年同期水平（3.3%、3.0%和3.3%）。(图3)

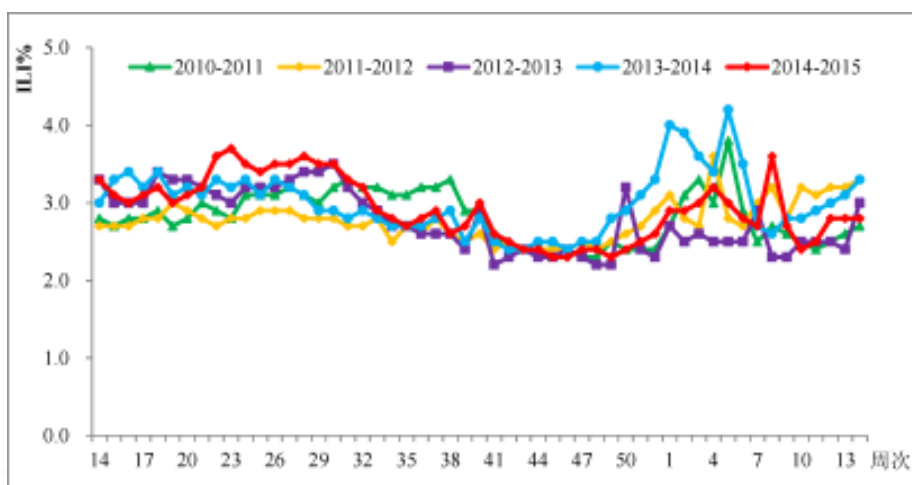


图3 2010 - 2015 年度南方省份哨点医院报告的流感样病例 %

(二) 北方省份流感样病例占门急诊病例总数百分比。

2015年第14周, 北方省份哨点医院报告的ILI%为2.7%, 高于前一周以及2011年同期水平 (2.6%和2.4%) 低于2012-2014年同期水平 (2.9%、2.9%和2.8%)。(图4)

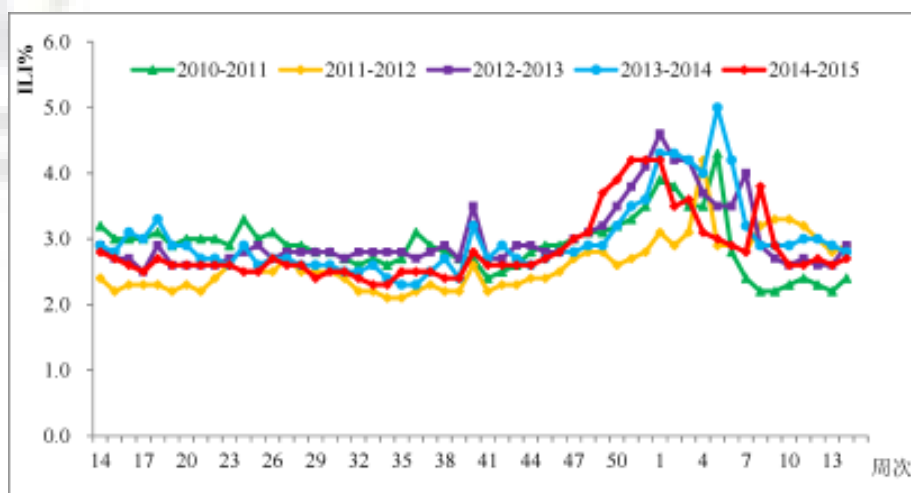


图4 2010 - 2015 年度北方省份哨点医院报告的流感样病例 %



病原学监测

(一) 流感样病例监测。

1. 全国流感病毒分离情况。

截至2015年4月7日数据下载时, 2015年第11 – 14周 (2015年3月9日 – 4月5日) 全国各省(市、区) 有214家网络实验室开展了病毒分离工作, 共分离到1380株流感病毒(表2)。自2014年10月1日 (2014年第40周) 以来, 国家流感中心(CNIC)收到各流感监测网络实验室上送的甲型H1N1、A(H3N2)和B型流感毒株13595株, 其中采样日期在2014年10月1日之后甲型H1N1、A(H3N2)和B型流感毒株12650株。(表3)

表2 2015年第11 – 14周各省份流感病毒分离情况 (按采样日期统计)

省份	分离的流感毒株数	分离的A型各亚型与B型各系毒株数			
		A(H3N2)	甲型H1N1	B(Victoria)系	B(Yamagata)系
北京市	194	1	0	0	193
山东省	126	7	0	0	119
江西省	107	3	0	18	86
安徽省	101	12	0	5	84
黑龙江省	92	42	0	0	50
天津市	82	0	0	0	82
河北省	80	0	0	0	80
广东省	71	22	1	3	45
上海市	68	12	1	0	55
湖南省	59	7	0	0	52
辽宁省	51	23	0	0	28
四川省	45	3	0	1	41
浙江省	45	12	0	0	33
福建省	42	2	0	3	37
云南省	40	18	0	1	21
湖北省	36	3	0	0	33
贵州省	28	7	0	0	21
广西省	25	2	0	0	23
河南省	18	14	0	0	4
吉林省	15	4	3	0	8
甘肃省	14	0	0	0	14
新疆	14	0	0	0	14
陕西省	10	4	0	0	6
江苏省	8	0	0	0	8
内蒙古	7	0	0	0	7
重庆市	2	0	0	0	2
总计	1380	198	5	31	1146

表 3 国家流感中心累计收检季节性流感毒株数量
(采样日期 2014 年 10 月 1 日 - 2015 年 4 月 5 日)

省份	收检次数	收检毒株总数	省份	收检次数	收检毒株总数	省份	收检次数	收检毒株总数
安徽	73	791	湖北	47	317	陕西	49	502
北京	33	143	湖南	69	286	上海	110	1186
福建	55	454	吉林	52	358	四川	87	391
甘肃	70	218	江苏	68	315	天津	31	609
广东	59	287	江西	59	295	西藏	0	0
广西	83	274	辽宁	90	615	新疆	78	492
贵州	0	0	内蒙古	5	58	新疆兵团	0	0
海南	47	623	宁夏	4	26	云南	155	547
河北	146	719	青海	1	8	浙江	81	413
河南	88	667	山东	114	978	重庆	3	7
黑龙江	73	791	山西	35	293			

2. 南方省份。

2015 年第 14 周, 南方省份检测到流感阳性标本 372 份 (11.7%), 其中 A 型流感阳性标本 90 份 (24.2%), B 型阳性标本 282 份 (75.8%)。90 份 A 型流感阳性标本中, 79 份为 A (H3N2) 流感, 4 份为甲型 H1N1 流感, 7 份未 A 型流感未分亚型, 282 份 B 型流感阳性标本中, 199 份为 B (Yamagata) 系流感, 14 份为 B (Victoria) 系流感, 69 份为 B 型流感未分系。各型别具体数据见表 1 和图 5。第 13 周, 南方省份网络实验室共分离到 91 株流感病毒, A (H3N2) 流感 9 株, B (Victoria) 系流感 2 株, B (Yamagata) 系流感 80 株。分离的病毒型别构成见图 6。

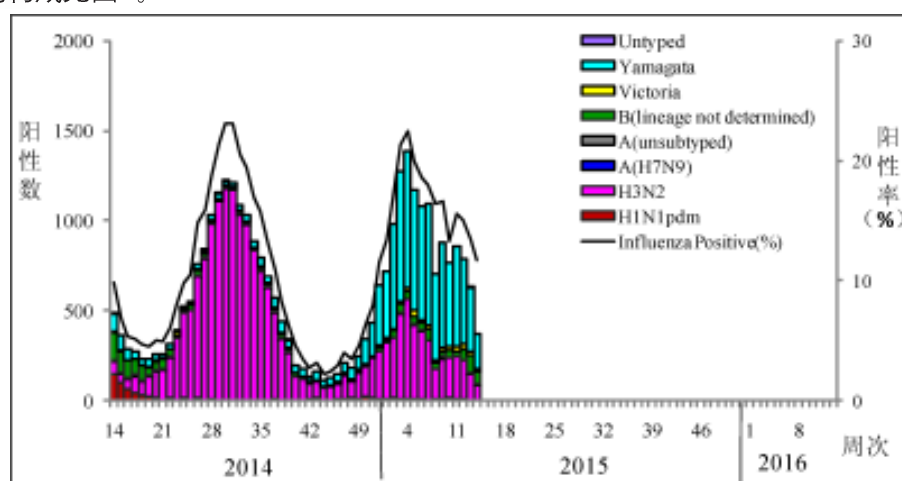


图 5 南方省份 ILI 标本检测结果

注: 数据来源于网络实验室检测结果, 网络实验室结果 CNIC 结果不一致的以 CNIC 复核结果为准。

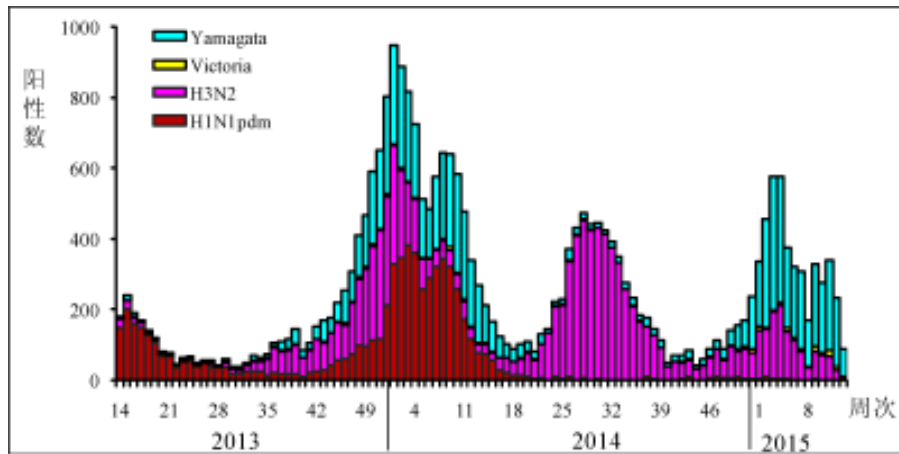


图6 南方省份ILI标本分离毒株型别/亚型构成

注 数据来源于网络实验室检测结果,网络实验室结果和CNIC结果不一致的以CNIC复核结果为准。

3. 北方省份。

2015年第14周,北方省份检测到流感病毒阳性标本231份(13.6%),其中A型流感9份(6.8%),222型流感410份(96.1%)。9份A型流感阳性标本中,8份为A(H3N2)流感,1份为甲型H1N1流感。222份B型流感阳性标本中,164份B(Yamagata)系流感,1份B(Victoria)系流感,57份B未分系流感。各型别具体数据见表1和图7。第13周,北方省份网络实验室分离到142株流感病毒,A(H3N2)流感4株,B(Yamagata)系流感138株。分离的病毒型别构成见图8。

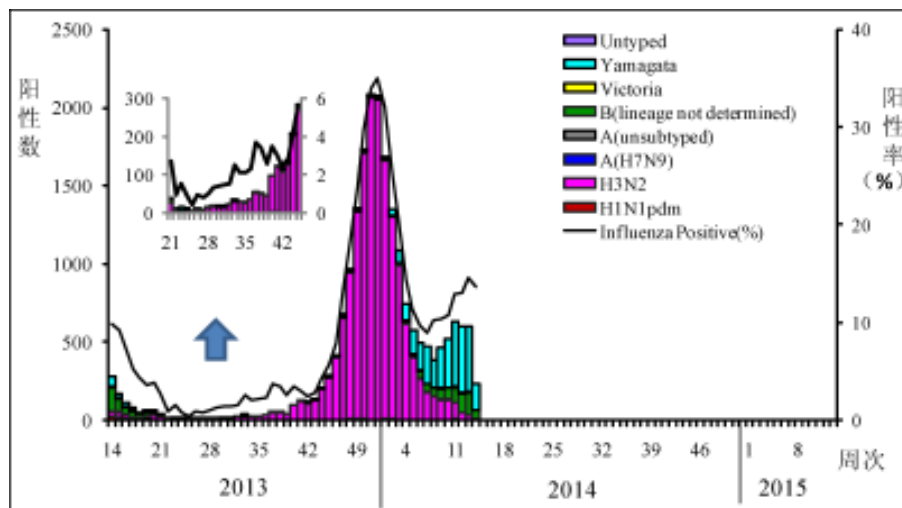


图7 北方省份ILI标本检测结果

注 数据来源于网络实验室检测结果,网络实验室结果和CNIC结果不一致的以CNIC复核结果为准。

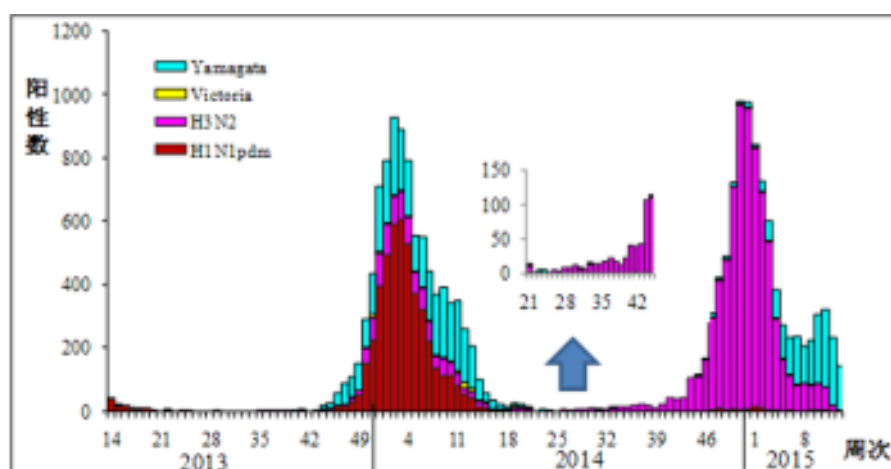


图 8 北方省份 ILI 标本分离毒株型别 / 亚型构成

注：数据来源于网络实验室检测结果，网络实验室结果和 CNIC 结果不一致的以 CNIC 复核结果为准。

(二) ILI 暴发疫情实验室检测结果。

1. 南方省份。

2015年第14周，南方省份网络实验室收检到流感样病例暴发疫情标本96份，检测到41份阳性标本，其中A(H3N2)流感21份，B型流感未分系20份。(图9)

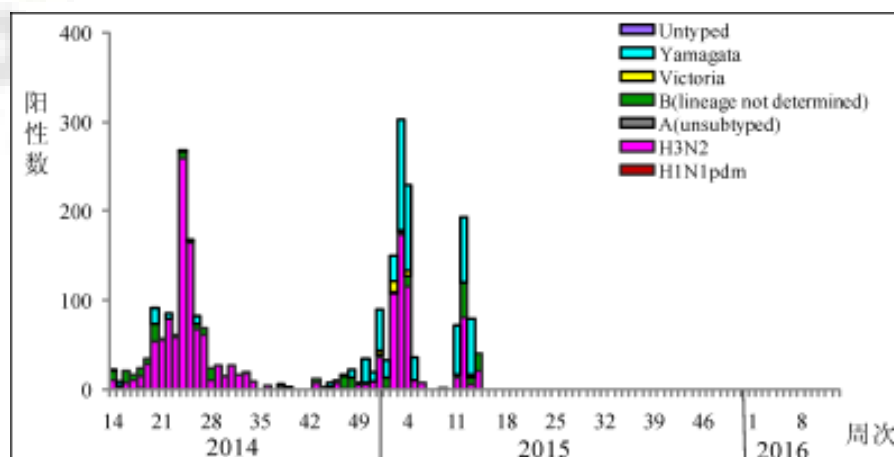


图 9 南方省份 ILI 暴发疫情标本检测结果

注：数据来源于网络实验室检测结果，网络实验室结果和 CNIC 结果不一致的以 CNIC 复核结果为准。

2. 北方省份。

2015年第14周，北方省份网络实验室收检到流感样病例暴发疫情标本20份，检测到15份阳性标本，其中B(Yamagata)系流感9份，B型流感未分系6份。(图10)

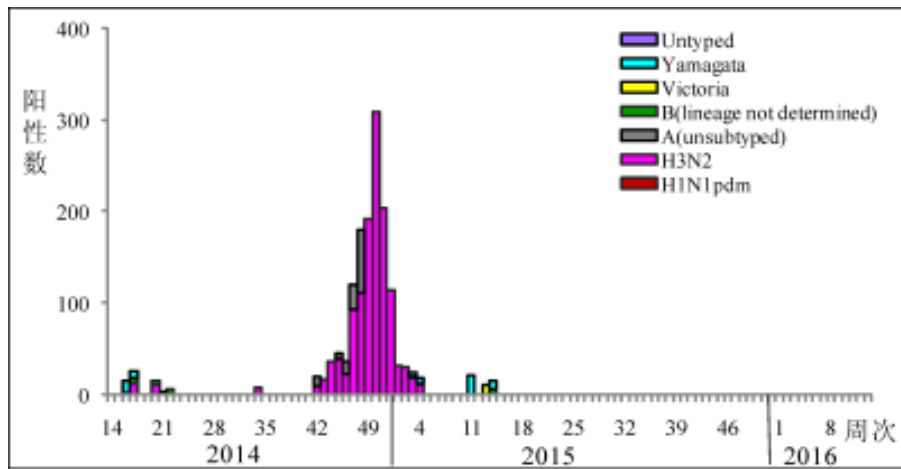


图 10 北方省份 IILI 暴发疫情标本检测结果

注：数据来源于网络实验室检测结果，网络实验室结果和 CNIC 结果不一致的以 CNIC 复核结果为准。

(三) 抗原性和基因特性分析。

2015年第14周, 国家流感中心对1株甲型H1N1流感病毒进行抗原性分析, 该株病毒为A/California/7/2009的类似株, 对109株A(H3N2)亚型流感毒株进行抗原性分析, 109株均为A/Texas/50/2012 (H3N2) (鸡胚株)的低反应株, 对8株B(Yamagata)系流感病毒进行抗原性分析, 8株均为B/Massachusetts/2/2012的类似株。

2014年10月1日-2015年4月5日(以采样日期统计), CNIC对38株甲型H1N1流感病毒进行抗原性分析, 其中37株(97.4%)为A/California/7/2009的类似株, 1株(2.6%)为A/California/7/2009的低反应株; 对同期的656株A(H3N2)亚型流感毒株进行抗原性分析, 其中88株(13.4%)为A/Texas/50/2012 (H3N2) (鸡胚株)的类似株, 568株(86.6%)为A/Texas/50/2012 (H3N2) (鸡胚株)的低反应株; 对同期的464株B(Yamagata)系流感病毒进行抗原性分析, 其中458株(98.7%)为B/Massachusetts/2/2012的类似株, 6株(1.3%)为B/Massachusetts/2/2012的低反应株; 对同期的25株B(Victoria)系流感毒株进行抗原性分析, 其中2株(8%)为B/Brisbane/60/2008的类似株, 23株(92%)为B/Brisbane/60/2008的低反应株。

(四) 耐药性分析。

2015年第14周, 国家流感中心对118株A(H3N2)、2株B型流感毒株耐药性监测显示, 所有A(H3N2)、B型流感毒株均对神经氨酸酶抑制剂敏感。

2014年10月1日-2015年4月5日, CNIC耐药监测数据显示, 所有甲型H1N1和A(H3N2)亚型流感毒株均对烷胺类药物耐药; 所有甲型H1N1均对神经氨酸酶抑制剂敏感; 4株A(H3N2)亚型、2株B型流感毒株对神经氨酸酶抑制剂敏感性降低, 其余A(H3N2)亚型、B型流感毒株均对神经氨酸酶抑制剂敏感。

人感染动物源性流感病毒疫情

(一) 人感染 H7N9 禽流感病毒疫情。

根据传染病报告信息管理系统数据, 2015年第14周, 我国内地报告人感染H7N9禽流感确诊病例1例, 发生在上海, 男, 52岁; 无当周及既往病例死亡。2014年10月1日—2015年4月5日, 我国内地累计报告人感染H7N9确诊病例192例, 死亡病例80例。截止2015年4月5日, 我国累计报H7N9确诊病例648例, 死亡病例255例(含香港13例, 死亡3例; 台湾4例, 死亡1例)。

表 4 我国内地报告人感染 H7N9 禽流感确诊病例情况
(2014 年 10 月 1 日—2015 年 4 月 5 日)

国家/地区	省/市	疫情开始时间	疫区	感染的禽流感亚型	涉及种类	涉及动物数量	动物感染数量	动物死亡数量
美国	MINNESOTA	2015/03/23	农场	H5N2	家禽	65800	—	1600
	WYOMING	2015/03/25	—	H5N2	鸭科	—	—	—
	MINNESOTA	2015/03/26	农场	H5N2	家禽	45140	—	—
	CALIFORNIA	2015/03/24	—	H5N8	鸭科	—	—	—
	CALIFORNIA	2015/03/24	—	H5N8	鸭科	—	—	—
布基纳法索	SANGUIE	2015/02/10	村落	H5N1	家禽	1330	1066	1066
	SANGUIE	2015/02/10	村落	H5N1	家禽	330	300	300
	KADIOGO	2015/03/05	农场	H5N1	家禽	6979	4028	4028
	KADIOGO	2015/03/15	农场	H5N1	家禽	180000	110000	110000
巴勒斯坦	GAZA STRIP	2015/03/24	院落	H5	家禽	1200	1200	1100
中国	台北	2015/03/23	农场	H5N2	家禽	3660	1415	1415
	台北	2015/03/24	农场	H5N2	家禽	4000	811	811
	江苏	2015/03/27	农场	H5N6	家禽	22669	260	93
越南	NGHE AN	2015/04/02	村落	H5N6	家禽	318	—	—

*: 按现住址统计。

(二) 人感染 H5N1 高致病性禽流感病毒疫情。

第14周, WHO未报告人感染H5N1高致病性禽流感病例。

(译自: http://www.who.int/influenza/human_animal_interface/en/)



动物禽流感疫情

第14周, OIE报告高致病性禽流感动动物疫情 14起, 分别来自美国 (5起)、布基纳法索 (4起)、巴勒斯坦 (1起)、中国 (3起) 和越南 (1起)。

表5 第14周全球报告动物感染高致病性禽流感疫情 (以OIE公布日期为准)

国家/地区	省/市	疫情开始时间	疫区	感染的禽流感亚型	涉及种类	涉及动物数量	动物感染数量	动物死亡数量
美国	MINNESOTA	2015/03/23	农场	H5N2	家禽	65800	—	1600
	WYOMING	2015/03/25	—	H5N2	鸭科	—	—	—
	MINNESOTA	2015/03/26	农场	H5N2	家禽	45140	—	—
	CALIFORNIA	2015/03/24	—	H5N8	鸭科	—	—	—
	CALIFORNIA	2015/03/24	—	H5N8	鸭科	—	—	—
布基纳法索	SANGUIE	2015/02/10	村落	H5N1	家禽	1330	1066	1066
	SANGUIE	2015/02/10	村落	H5N1	家禽	330	300	300
	KADIOGO	2015/03/05	农场	H5N1	家禽	6979	4028	4028
	KADIOGO	2015/03/15	农场	H5N1	家禽	180000	110000	110000
巴勒斯坦	GAZA STRIP	2015/03/24	院落	H5	家禽	1200	1200	1100
中国	台北	2015/03/23	农场	H5N2	家禽	3660	1415	1415
	台北	2015/03/24	农场	H5N2	家禽	4000	811	811
	江苏	2015/03/27	农场	H5N6	家禽	22669	260	93
越南	NGHE AN	2015/04/02	村落	H5N6	家禽	318	—	—

—: 未涉及或不详。

(译自: http://www.oie.int/wahis_2/public/wahid.php/Diseaseinformation/WI)

其他国家 / 地区流感 监测情况

全球

全球流感活动水平有所下降，但北半球流感活动水平仍高于流行阈值。且在本流行季节主要流行株为 A (H3N2)，B 型流感和甲型 H1N1 在过去几周的检测率有所上升。

在北美地区，流感活动水平有所下降，但其流感活动水平仍高于流行阈值，B 型流感的检测率有所上升。

在欧洲地区，大多数国家的流感活动持续下降。主要流行株为 A (H3N2)，但 B 型流感检测率在许多国家有所上升。

非洲北部和中东地区，在大部分地区流感活动有所下降，且主要流行株为甲型 H1N1。

亚洲西部地区，流感活动在大部分地区有所下降，但在土耳其流感检测数量有所上升，B 型流感和甲型 H1N1 共同流行。

亚洲温带地区，流感活动在大部分地区有所下降，只有韩国有所上升。在中国北方，B 型流感活动有所上升，而流感活动的高峰发生在今年年初。

美洲热带地区，流感活动在大部分地区有所上升，哥伦比亚、厄瓜多尔、牙买加和波多黎各等地区的 ILI 活动水平、RSV 病毒和流感病毒的检测数均有所上升。

亚洲热带地区，流感活动水平较高，印度和不丹的主要流行株为甲型 H1N1。在中国以及中国香港特别行政区，A (H3N2) 和 B 型流感病毒的流感活动已达到峰值且开始下降。

南半球国家的流感活动仍处于非流行季水平。

基于 FluNet 上 (截止 2015 年 4 月 2 日 14:15 UTC) 2015 年 3 月 8 – 21 日) 全球流感监测实验室共检测了 87715 份标本，17828 份检测结果为阳性，其中 9119 份为 A 型 (51.1%)，8707 份为 B 型 (48.9%)。所有 A 已分亚型标本中，2558 (49.8%) 份为甲型 H1N1 流感，2579 (50.2%) 份为 A (H3N2) 流感。所有 B 型已分亚型流感标本中，427 份 (97.7%) 为 B (Yamagata) 系，10 份 (2.3%) 为 B (Victoria) 系。

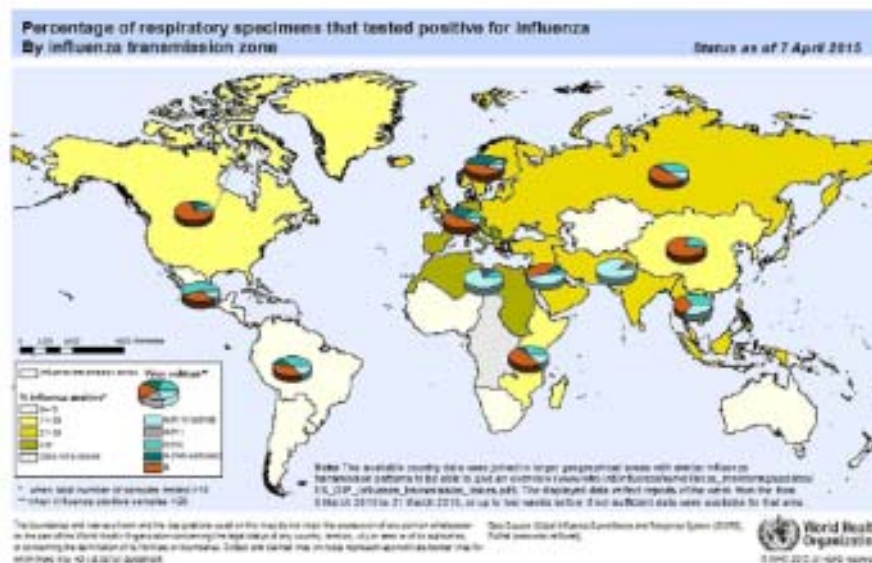


图 11 全球流感监测分布图

北半球温带地区

北美洲

北美国家流感活动继续下降,但整体流感活动水平仍略高于季节性阈值。主要流行株为A(H3N2),B型流感在过去几周有所上升。

加拿大,流感样病例活动有所下降,处于预期水平。甲型流感检测继续减少,而B型流感检测持续稳步增长。大多数的流感活动发生在中部省份和大西洋地区,主要受人口因素影响。

美国,流感活动持续下降,但流感活动水平仍高于季节性阈值,B型流感继续增加。流感监测率由上周的11.4%下降至10.6%。122个城市报告死于肺炎和流感的死亡人数占全部死亡人数的比例达到7.4%,略高于流行阈值(7.2%)。门诊流感样ILI活动水平(2.2%)持续下降,但仍高于国家基线2.0%。

墨西哥,流感检测阳性率由2014年底的峰值50%下降到24.3%,ARI活动水平由1月底的峰值700每100 000人口下降到509每100 000人口。肺炎活动有所下降,但仍保持低水平,且高于预期水平。

欧洲

在欧洲,大多数国家流感活动持续下降但阳性率仍然高达41%。流感住院病例大多数年龄在65岁以上(占53%)。主要流行株为A(H3N2)。此地区甲型H1N1,A(H3N2)和B型流感共同流行,且B型流感检测稳步增长。基于欧洲的项目数据(在公共卫生行动中监测超额死亡率)显示,年龄在65岁之上的死亡病例报告于比利时、英国、法国、匈牙利、爱尔兰、荷兰、北爱尔兰、苏格兰、西班牙、瑞典、瑞士和威尔士等国家。死亡率过高可能与天气寒冷以及A(H3N2)流行有关。

在东欧,流感活动保持低水平,俄罗斯和希腊持续报告了流感活动,且主要流行株为B型流感。

非洲北部地区

在北非和中东,大部分地区流感活动减少。

亚洲西部

在亚洲西部,大多数国家的流感活动有所下降。然而流感检测数在土耳其有所上升,B型流感和甲型H1N1共同流行。

中亚

在中亚地区,流感活动保持低水平,以A(H3N2)和B型流感为主。

东亚

亚洲东部地区,流感活动在大部分地区有所下降。在中国的北方地区和韩国A(H3N2)的检测有所下降,B型流感都有所上升。中国北方地区,ILI活动水平与季节性峰值(4%)相比,有所下降,至2.7%。韩国门诊ILI就诊率下降至35.6%(较之前的45.5%相比),仍高于基线12.2%。蒙古的流感活动以及ILI活动均有所降低。

热带地区

美洲/中美洲和加勒比热带国家

整体流感活动水平在加勒比海、中美洲和南美洲等热带国家仍然较低。在哥伦比亚,门诊ARI活动和住院率有所上升,且为甲型H1N1和A(H3N2)共同流行。厄瓜多尔SARI活动有所上升,RSV检出率较高,流感检测率仍然保持低水平。

中非热带地区

非洲地区,报告了零星的流感活动。非洲西部和东部为甲型H1N1、A(H3N2)和B型共同流行。

亚洲热带地区

在亚洲热带地区,流感活动水平仍然很高,但印度和伊朗流感活动有所下降,不丹的流感活动在过去几周处于较高水平,主要流行株为甲型H1N1。流感样病例主要涉及人群年龄为15–29岁,SAARI病例主要涉及人群年龄为0–1岁。在中国南部和中国香港特别行政区流感活动继续减少,但起流感活动水平仍高于基线。中国的南方省份A(H3N2)和B型流感共同流行。越南的流感活动有所上升,且主要流行株为甲型H1N1。伊朗的流感活动保持高水平,但是流感活动有所下降,主要流行株为甲型H1N1。

印度的流感活动保持高水平,但是流感活动有所下降,主要流行株为甲型H1N1。

南半球温带地区

南半球国家的流感活动仍处于非流行季水平。

(译自http://www.who.int/influenza/surveillance_monitoring/updates/latest_update_GIP_surveillance/en/index.html)



美国（第12周，2015年3月22 – 28日）

第12周，美国流感活动继续下降，但仍维持较高水平。

第12周，流感样病例门诊监测网络报告的ILI%为2.0%，水平与国家基线（2.0%）相同。

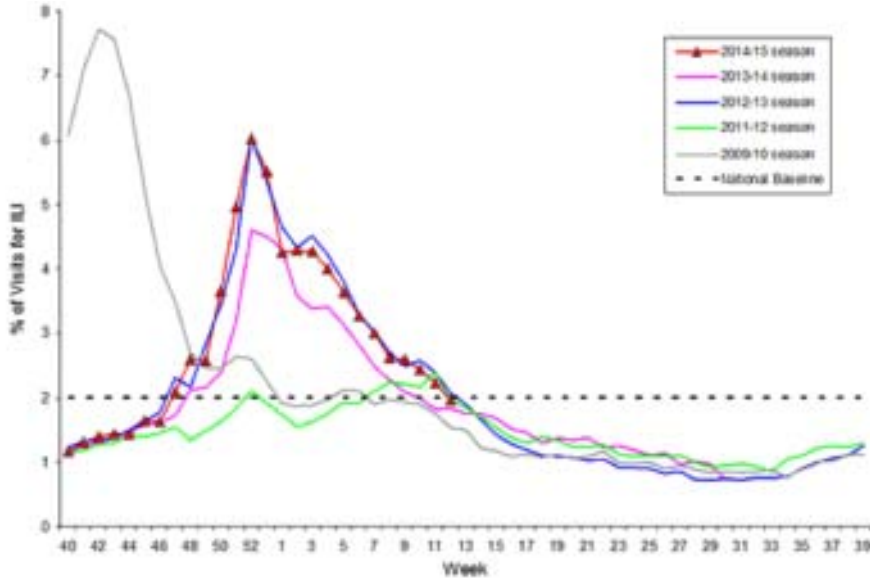


图12 美国流感样病例监测周分布

第12周，共检测标本12014份，流感病毒阳性1300份（10.8%），其中A型257份（19.8%），包括99份A(H3)、3份甲型H1N1和155份A未分亚型；B型流感1043份（80.2%）。

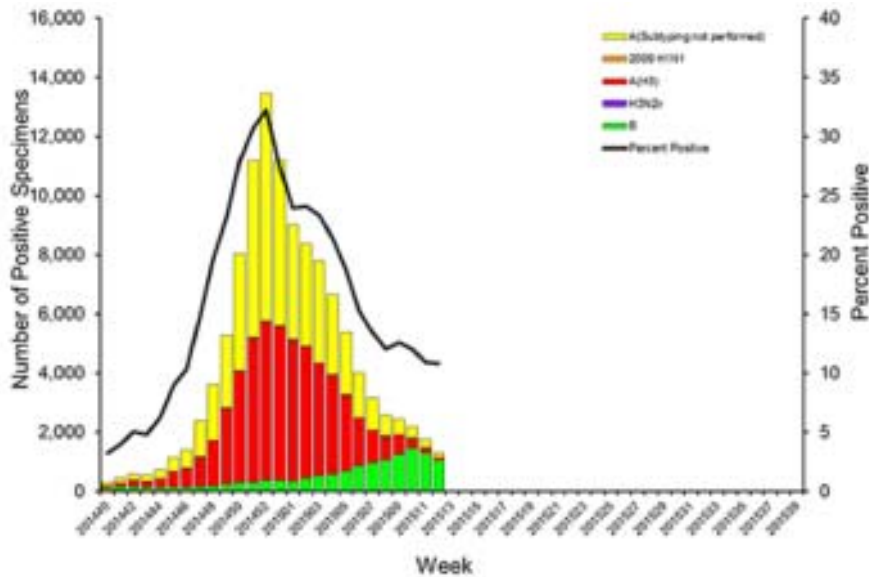


图13 美国流感病原监测周分布

第12周，122个城市报告死于肺炎和流感的死亡人数占全部死亡人数的6.9%，高于流行阈值7.1%。

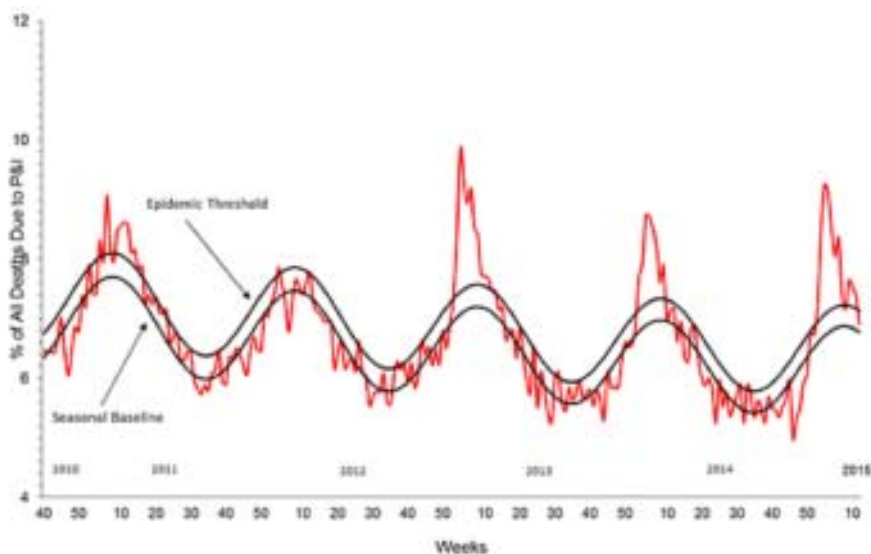


图 14 美国肺炎和流感死亡监测

注：美国共有 10 个监测地区。

(译自：<http://www.cdc.gov/flu/weekly/pastreports.htm>)

加拿大（第 12 周，2015 年 3 月 22 – 28 日）

第 12 周，大部分的流感活动发生在中部和大西洋省份。B 型流感检测数量继续稳步提升，同时 A 型流感检测的数量继续下降。B 型流感的上升，与 B 型流感往往发生在流感流行季节的后半段的这个预期相同。在本流行季节的早期，与 A(H3N2) 流感相比，B 型流感对小于 65 岁的成年人影响较大。来自国家微生物学实验室 (NML) 的证据表明，今年的疫苗对正在流行的甲型 H1N1 和 B 型流感病毒具有保护作用。

第 12 周，A 型阳性率 (4.7%) 与一周相比继续下降。B 型阳性率持续增加，增至 11.5%。

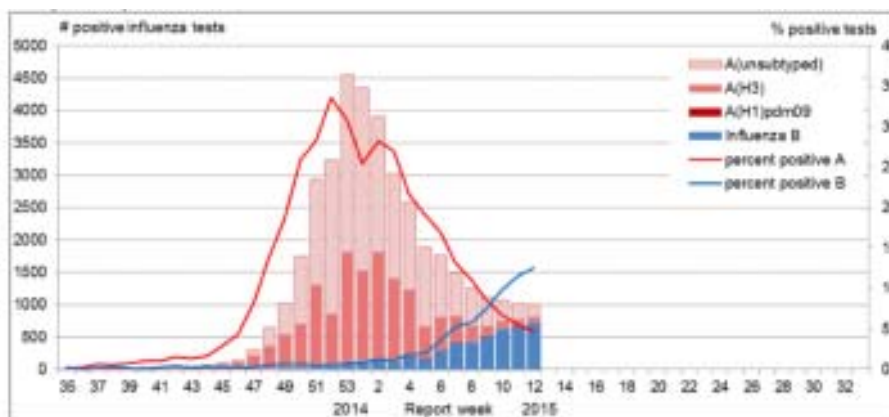


图 15 加拿大流感病原监测周分布



ILI 就诊率下降至 20.5‰，高于预期水平。

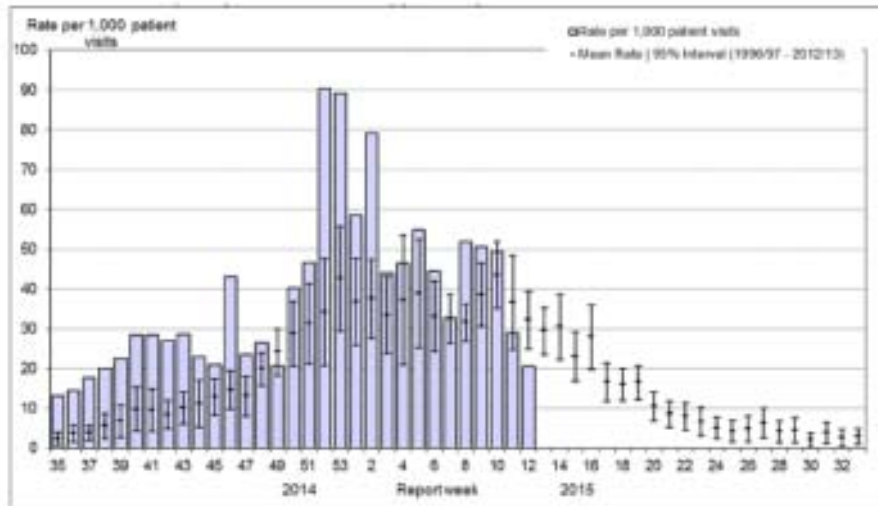


图 16 加拿大流感样病例监测周分布

注：加拿大共有 10 个省和 3 个特区，分为 54 个监测地区。

(译自: <http://www.phac-aspc.gc.ca/fluwatch>)

香港（第 13 周，2015 年 3 月 22 – 28 日）

最新的监测数据显示，整体流感活跃程度继续下降，但仍高于基线水平。本地流感活跃程度未来一段时间仍会高于基线水平，市民应继续保持警觉。主要流行病毒为 A (H3N2) 流感，但近期 B 型流感病毒阳性样本有所增加。

第 13 周，香港定点普通科诊所报告的流感样病例个案平均数下降至 5.2‰，低于前一周的 5.7‰。

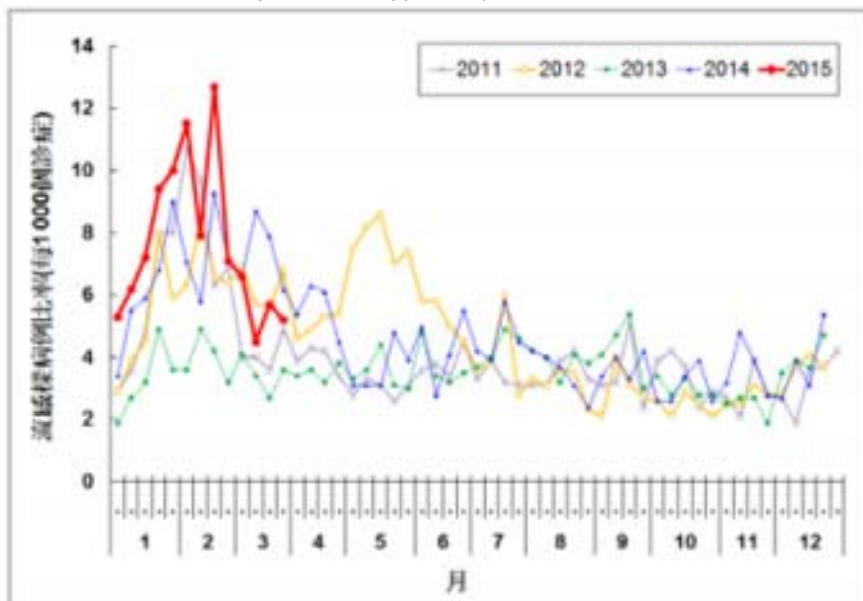


图 17 香港定点普通科诊所流感样病例监测周分布

第13周, 香港定点私家医生所报告的流感样病例个案平均比例上升至40.1‰, 低于前一
周的34.8‰。

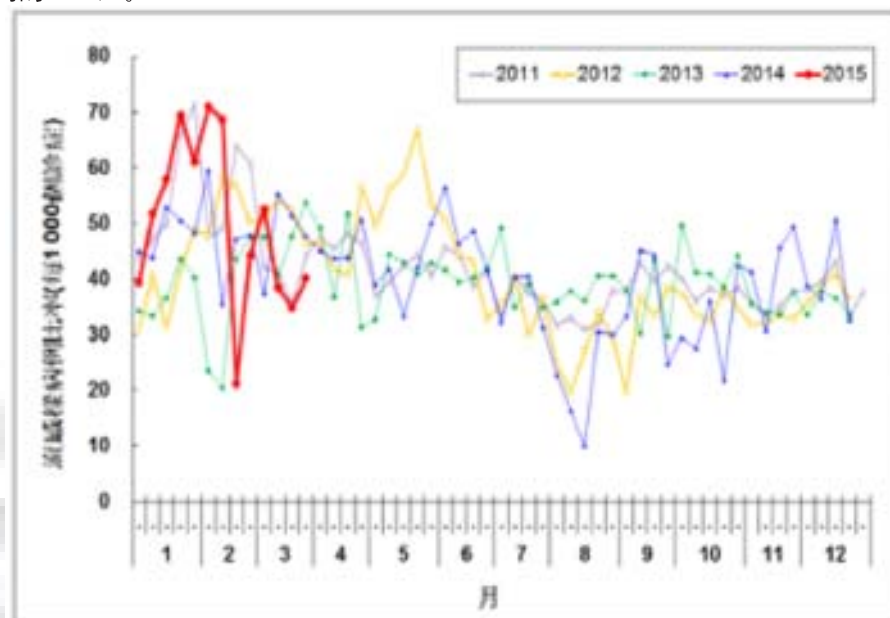


图 18 香港定点私家医生流感样病例监测周分布

第13周, 香港公共卫生检测中心共检测到528份流感病毒阳性标本, 其中包括405份
A (H3)、14份A (H1N1)、107份B型流感和2份丙型流感。

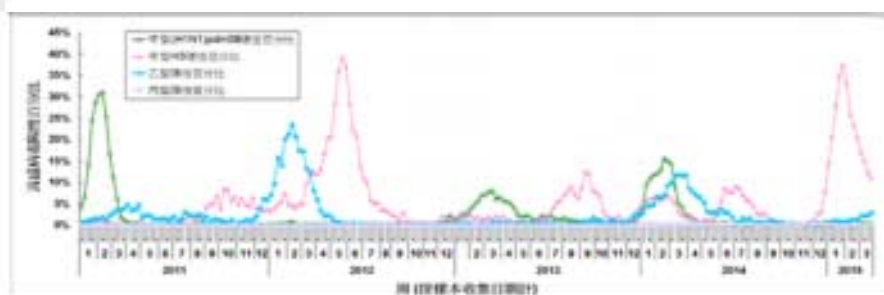


图 19 香港流感病原监测周分布

2015年第13周, 本中心获得11起在学校/院舍发生的流感样暴发的报告, 低于前一周
获得的19起。2015年第14周的前4天 (2015年3月29日 - 4月1日) 有4起在学校发生的流感
样暴发的报告。第13周, 0-4岁, 5-64岁及65岁及以上年龄组主要诊断为流感的入院率分
别1.02、0.1和1.29 (此年龄组别每1万人的入口)。

(摘自: http://www.chp.gov.hk/tc/guideline1_year/29/134/441/304.html)

台湾地区 (第 12 周, 2015 年 3 月 22 - 28 日)



台湾地区流感仍处流行期；近期社区检出病毒型别以A(H3N2)型为主。

2015年第10周，社区流感病毒阳性率为29.8%，阳性检测中78%为A型流感病毒。

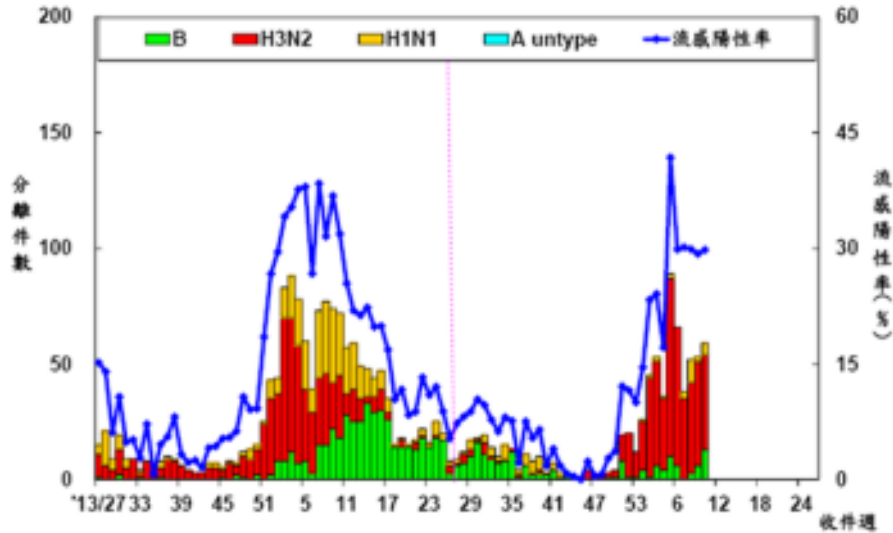


图 20 台湾地区 2013 – 2015 流感病毒分型

2015年第12周，新增38例流感并发重症病例，5例经审查与流感相关死亡病例。自2014年8月1日起累计268例流感并发重症病例，40例流感并发重症死亡病例。

2015年第12周，门诊ILI就诊人数为73669人次，百分比为1.5%，较前一周1.4%上升。急诊ILI百分比为11.6%，较前一周11.1%上升。

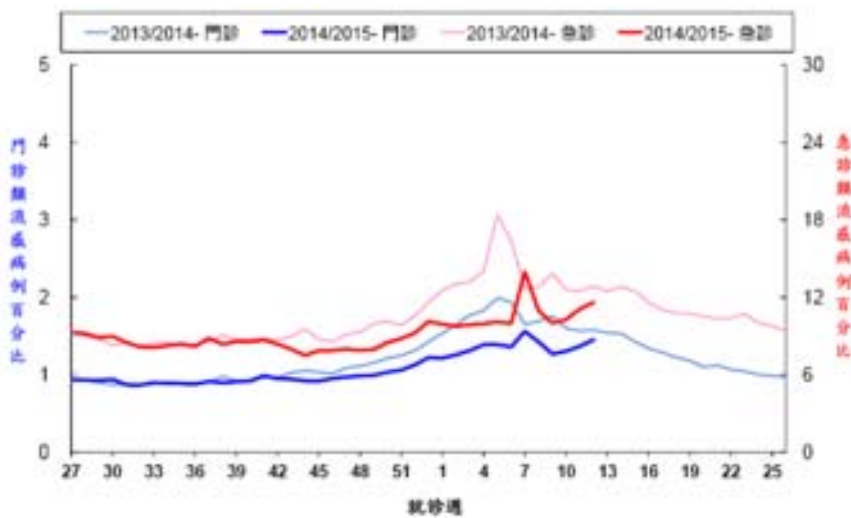


图 21 台湾地区门诊及急诊流感样病例百分比

(摘自: <http://flu.cdc.gov.tw/>)





中国疾病预防控制中心病毒病预防控制所编制

地 址：北京市昌平区昌百路155号病毒病所

邮 编：102206

电 话：010—58900863

传 真：010—58900863

电子邮箱：Fluchina@cnic.org.cn

编 辑：中国疾病预防控制中心病毒病预防控制所国家流感中心

编发日期：2015年4月9日

发行范围：国家卫生计生委领导、疾病预防控制局、卫生应急办公室、
医政司；中国疾病预防控制中心领导、病毒病所、各相关处室；

下 载：中国流感监测信息系统（<http://1.202.129.170:82/>）或
中国国家流感中心网站（<http://www.cnic.org.cn/>）提供下载。